Über Thiocarbonate, VIII¹)

Das Kohlenstoffsulfid-di-(hydrogensulfid) SC(SH)₂ und das System H₂S-CS₂

5. Thermochemie des Systems H₂S-CS₂

Von G. Gattow und B. Krebs²)

Mit 7 Abbildungen

Inhaltsübersicht

Mit Hilfe von Dampfdruckmessungen wurde das System $(H_2S-CS_2)_{\Pi \bar{u} s s i g}$ im gesamten Konzentrationsbereich thermodynamisch untersucht und die partiellen und integralen thermodynamischen Daten ermittelt.

Die Verbindung $H_2S \cdot CS_2$, die bei -102 °C unter Zersetzung schmilzt, konnte isoliert werden. Die thermochemischen Kenngrößen wurden zwischen -137 und -102 °C bestimmt. Bei -120 °C beträgt die Bildungsenthalpie von $H_2S \cdot CS_3$ aus den Elementen

$$\Delta H_{\rm r}^{158} = +10.2 \pm 0.8 \, {\rm kcal/Mol}$$

und die Normalentropie

$$S^{153} = 55.2 + 2.0 \text{ cal/}^{\circ}\text{Mol}.$$

Die Darstellungen und Eigenschaften der beiden isomeren Verbindungen $SC(SH)_2$ und $H_2S \cdot CS_2$ werden in Zusammenhang mit dem System H_2S-CS_2 ausführlich diskutiert.

Summary

The vapour pressures of the system (H₂S-CS₂)_{11qu1d} were determined over the whole range of concentrations. The partial and integral thermodynamic data were computed.

The compound $\rm H_2S \cdot CS_2$, melting incongruently at $-102\,^{\circ}\mathrm{C}$, was isolated and its thermodynamic properties were investigated between -137 and $-102\,^{\circ}\mathrm{C}$. At $-120\,^{\circ}\mathrm{C}$ the heat of formation is $\Delta \rm H_f^{153} = +10.2 \pm 0.8$ kcal/mol and the normal entropy is $\rm S^{153} = 55.2 \pm 2.0$ cal/°mol.

Methods of preparation and properties of the two isomers $SC(SH)_2$ and $H_2S \cdot CS_2$ are discussed in detail.

¹⁾ VII. Mitteilung: G. GATTOW u. B. KREBS, Z. anorg. allg. Chem. 323, 260 (1963).

²) Teil der Diplomarbeit B. Krebs, Göttingen 1962.

Nachdem in einer der vorangegangenen Mitteilungen³) die Thermochemie des Kohlenstoffsulfid-di-(hydrogensulfids) $SC(SH)_2$ ausführlich behandelt worden war, trat die berechtigte Frage auf, ob eine Synthese des $SC(SH)_2$ aus CS_2 und H_2S im Prinzip möglich ist und ob im Zustandsdiagramm des Systems H_2S-CS_2 die Verbindung $SC(SH)_2$ als ausgeprägtes Schmelzmaximum auftritt. Zur Klärung dieser Fragen wurde das Zustandsdiagramm H_2S-CS_2 sowohl für den flüssigen als auch z. T. für den festen Zustand thermochemisch untersucht. Entsprechende Angaben über dieses einfache binäre System liegen in der Literatur nicht vor.

Biltz und Bräutigam⁴) klärten das Zustandsdiagramm des Systems H_2S-CS_2 durch Aufnahme von Abkühlungskurven beim Erstarren von H_2S-CS_2 -Gemischen verschiedener Zusammensetzung auf und machten neben der Verbindung $CS_2 \cdot 6$ H_2S (Schmelzpunkt -97 °C) eine bei -102 °C schmelzende Verbindung $H_2S \cdot CS_2$ wahrscheinlich.

Das Zustandsdiagramm, dessen Temperaturverlauf im wesentlichen durch unsere thermochemischen Messungen bestätigt werden konnte, zeigt ein Schmelzmaximum bei 50 Mol-% $\rm H_2S$. Die hier auftretende Verbindung $\rm H_2S \cdot \rm CS_2$ unterscheidet sich in ihren Eigenschaften grundsätzlich von denen des isomeren $\rm SC(SH)_2$; z. B. Schmelzpunkt von $\rm H_2S \cdot \rm CS_2 - 102\,^{\circ}C$ und von $\rm SC(SH)_2 - 26.9\,^{\circ}C^5$).

Die Bestimmung der thermochemischen Daten erfolgte durch direkte manometrische Ermittlung der $\rm H_2S$ -Partialdrucke über Bodenkörpern variabler Zusammensetzung bei verschiedenen Temperaturen. Wie Versuche zeigten, waren die über den festen Phasen zu messenden Drucke recht klein (bis maximal 40 mm Hg), um mit einem normalen Hg-Manometer exakt bestimmt werden zu können. Es wurden deshalb zusätzliche Messungen mit Silikonöl (Wacker AK 350) als Manometerflüssigkeit vorgenommen. Die Dampfdrucke über dem System ($\rm H_2S-CS_2)_{flüssig}$ wurden im Bereich zwischen dem jeweiligen Schmelzpunkt und -78 °C ermittelt, um die Verhältnisse in diesem bisher noch nicht untersuchten Temperaturgebiet des Systems zu klären. In diesem Fall war ein Hg-Manometer gut zu verwenden. Da die Partialdrucke des $\rm CS_2$ bei den in Frage kommenden Temperaturen zu vernachlässigen sind 6), konnten die gemessenen Drucke unmittelbar mit denen des $\rm H_2S$ identifiziert werden.

Versuchsdurchführung?): Zunächst wurde das Silikonöl durch 24stündiges Erhitzen auf 60 °Cim Hochvakuum von eventuell gelösten Gasspuren befreit; $\rm H_2S$ wurde durch

³⁾ G. Gattow u. B. Krebs, Z. anorg. allg. Chem. 322, 113 (1963).

⁴⁾ W. Biltz u. M. Bräutigam, Z. anorg. allg. Chem. 162, 49 (1927).

⁵) G. Gattow u. B. Krebs, Z. anorg. allg. Chem. **321**, 143 (1963).

⁶⁾ Für reines CS₂ z. B. bei -78 °C: 0,63 mm Hg, bei -85 °C: 0,34 mm Hg.

⁷⁾ Nähere Einzelheiten siehe bei 2).

Umsublimation im Vakuum nach Vorschrift gereinigt, die gewünschte Menge 8) H₂S in eine graduierte Falle, die über einen Vakuumhahn mit der Dampfdruckapparatur in Verbindung stand, destilliert und bei $-78\,^{\circ}\mathrm{C}$ aufbewahrt. In das Meßgefäß wurde die äquivalente Menge CS_2 (über P_2O_5 getrocknet) eingewogen, nach Zugabe eines Teflon-Magnetrührstabes die Apparatur kräftig mit trockenem Stickstoff durchspült, das Meßgefäß auf die Temperatur der flüssigen Luft abgekühlt, die gesamte Anlage auf Hochvakuum evakuiert und das $m H_2S$ durch Erwärmen der graduierten Falle in das Meßgefäß überdestilliert. Die Homogenisierung der Mischung erfolgte durch vorsichtiges Erhitzen der Meßsubstanz über den Schmelzpunkt und kräftiges Rühren mit dem Magnetrührer. Nach anschließendem Abkühlen wurde, von tiefen Temperaturen beginnend, der Dampfdruck des H₂S als Funktion der Temperatur bestimmt⁹). – Die eingesetzte Substanzmenge betrug etwa 15-20 g, das schädliche Volumen etwa 150 cm³. - Als Badflüssigkeit diente Petroläther, der in einem Dewar-Gefäß über einen Kühlfinger aus Kupfer mit flüssiger Luft abgekühlt wurde. Die Temperatur blieb jeweils 20 Minuten auf \pm 0,1° konstant. Die Erwärmung der Probe zwischen den Meßpunkten geschah durch Eintauchen eines warmen Kupferstabes in die Badflüssigkeit. Die Temperatur wurde im Bad mit einem Flüssigkeitsthermometer ermittelt, das zuvor mit einem Dampfdruckthermometer geeicht worden war.

Zur Überprüfung der Apparatur und der Literaturwerte von H₂S wurden Dampfdruckmessungen über flüssigem und festem H₂S durchgeführt. Die ermittelten Werte von p_{H,S} stimmen bestens mit den Angaben von GIAUQUE und BLUE¹⁰) überein (vgl. Abb. 1)¹¹).

1. Thermochemische Daten der Verbindung $H_2S \cdot CS_2$

Die über $H_2S \cdot CS_2$ gemessenen Dampfdrucke¹²), die der Abb. 1 zu entnehmen sind, lassen sich im Bereich zwischen $-137\,^{\circ}C$ und $-112\,^{\circ}C$ (Schmelzpunkt des CS_2) durch die Gleichung (p in mm Hg, T in $^{\circ}K$)

$$\log p_{H_{cS}} = -1,006 \cdot 10^{8} \cdot T^{-1} + 7,71$$

zwischen -112°C und -102°C durch

$$\log p_{H_{\bullet}S} = -1,310 \cdot 10^3 \cdot T^{-1} + 9,30$$

wiedergeben.

⁸⁾ Zur Umrechnung des Volumens auf die Masse wurde für $\rm H_2S$ der Dichtewert $\rm d_4^{78,6}=0.997~g/cm^8$ benutzt; vgl. B. D. Steele, D. McIntosh u. E. H. Archibald, Z. physik. Chem. **55**, 129 (1906); Philos. Trans. Roy. Soc. London Ser. A **205**, 99 (1905).

⁹) Eine Messung mit fallender Temperatur erwies sich wegen der langsamen Gleichgewichtseinstellung als ungünstig; wie Versuche zeigten, ist sie jedoch im Prinzip möglich. Über flüssigen Mischungen wurde in beiden Richtungen gemessen, wobei die Flüssigkeit mit einem Magnetrührer kräftig bewegt wurde.

¹⁰⁾ W. F. GIAUQUE u. R. W. BLUE, J. Amer. chem. Soc. 58, 831 (1936).

 $^{^{11}}$) Dampfdrucke (in mm Hg) von flüssigem $H_2S\colon \log p = -1,145\cdot 10^3\cdot T^{-1} + 8,94746 - 0,00322\cdot T$ und von festem $H_2S\colon \log p = -1,329\cdot 10^3\ T + 10,28588 - 0,0051263\cdot T;$ vgl. 10) und Tab. 1.

¹²) Die Dampfdrucke wurden zwischen $-102\,^{\circ}$ C bis $-137\,^{\circ}$ C sowohl mit Hg als auch mit Silikonöl als Manometerflüssigkeit bestimmt. Eine Niveaudifferenz von 0,4 mm Silikonöl, verursacht durch dessen Eigendampfdruck, wurde berücksichtigt; $d_{2}^{40}=0.975\,\mathrm{g/cm^3}.$

²a Z. anorg. allg. Chemie. Bd. 325.

Die H_2S -Drucke über H_2S - CS_2 liegen bei Temperaturen unterhalb $-128\,^{\circ}C$ über denen des reinen H_2S , oberhalb dieser Temperatur darunter. Daraus

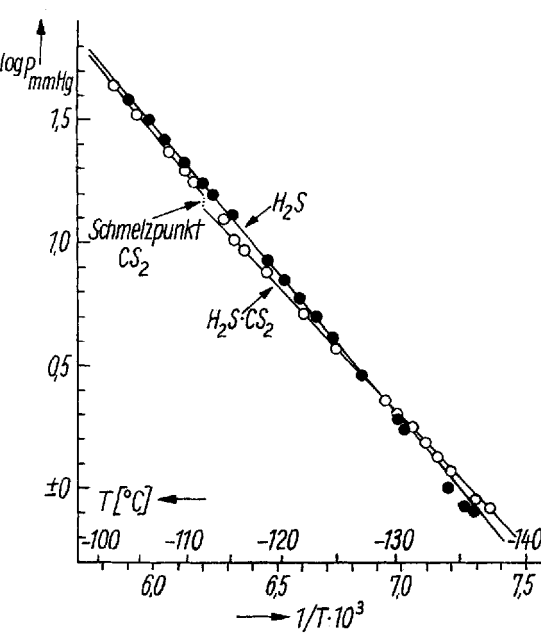


Abb. 1. H_2S -Dampfdrucke über $H_2S \cdot CS_2$ und über H_2S

folgt, daß HoS · CS, unterhalb -128°C unbeständig ist. Der instabile Zustand bleibt jedoch wegen der relativ geringen Beweglichkeit der Gitterbausteine im Zustand festen ,,eingefroren" (siehe dazu die Berechnung der AG-Werte). Eine bei lang-Schmelzen samem auftretende peritektische Entmischung deutet auf eine gewisse Instabilität Adduktes auch bei höheren Temperaturen als -128°C hin 13),

Die thermodynamische Auswertung ergab als Reaktionsenthalpie, -entropie und freie Energie der Reaktion

$$\rm H_2S\cdot CS_{2(fest)} \rightarrow H_2S_{(Gas)} \,+\, CS_{2(fest)}$$

für eine mittlere Temperatur von -120°C

$$\Delta {
m H}_{
m R}^{158} = + \ 4.8_5 \pm 0.3 \ {
m kcal/Mol}$$

 $\Delta {
m S}_{
m R}^{168} = + \ 22.2 \pm 0.7 \ {
m cal/°Mol}$
 $\Delta {
m G}_{
m R}^{158} = + \ 1.4_5 \pm 0.8 \ {
m kcal/Mol}.$

Unter Zugrundelegung bekannter thermodynamischer Kenngrößen⁷) folgt für die Bildungsenthalpie aus den Elementen und für die Normalentropie von festem $\rm H_2S \cdot CS_2$ bei $-120\,^{\circ}C$

$$\Delta H_f^{158} = +10.2 \pm 0.8 \text{ keal/Mol}$$

 $S^{158} = 55.2 + 2.0 \text{ cal/°Mol}.$

Für die Reaktion

$$H_2S_{(fest)} + CS_{2(fl\,tisslg)} \rightarrow H_2S \cdot CS_{2(fest)}$$

¹³) Diese Entmischung trat nur in einigen Fällen auf und ließ sich durch Rühren leicht wieder rückgängig machen.

ergibt sich bei $-102\,^{\circ}\mathrm{C}$ für die freie Enthalpie ein Wert von $\Delta\mathrm{G}^{171}=-0.2\pm1.0$ keal/Mol.

Dieser Wert ist nur schwach negativ. Er zeigt jedoch, daß die Bildung der festen Verbindung $H_2S \cdot CS_2$ aus festem H_2S und flüssigem CS_2 bei $-102\,^{\circ}C$ thermodynamisch möglich ist und führt zu keinem Widerspruch zur Existenz dieser Verbindung.

Mit Hilfe von kernmagnetischen Resonanzuntersuchungen, Infrarotspektroskopie usw. wird zur Zeit an der Strukturaufklärung dieser Verbindung gearbeitet.

2. Thermochemische Daten im System H₂S-CS₂

 $_{
m Die}$ über flüssigen H₂S-CS₂-Mischungen (0 bis $100 \,\mathrm{Mol}$ - $% \,\mathrm{H_2S}$) gemessenen Dampfdrucke sind in Abb. 2 und 3 wiedergegeben. Die A- und B-Werte der allgemeinen Dampfdruckgleichung $\log p = -A \cdot 10^3 \cdot$ $T^{-1} + B$, sowie die Verdampfungswärmen von H₂S H_2S-CS_2 -Mischungen und die entsprechenden Entropiedaten sind der Tab. 1 zu entnehmen.

Wie aus den p_{H_1S} -Isothermen der Abb. 4 folgt, handelt es sich bei H_2S-CS_2 um ein System, wie es auch z. B. bei Mischungen Alkohol-Paraffin oder Aldehyd — Schwefelkohlenstoff auftritt; d. h. es treten rela-

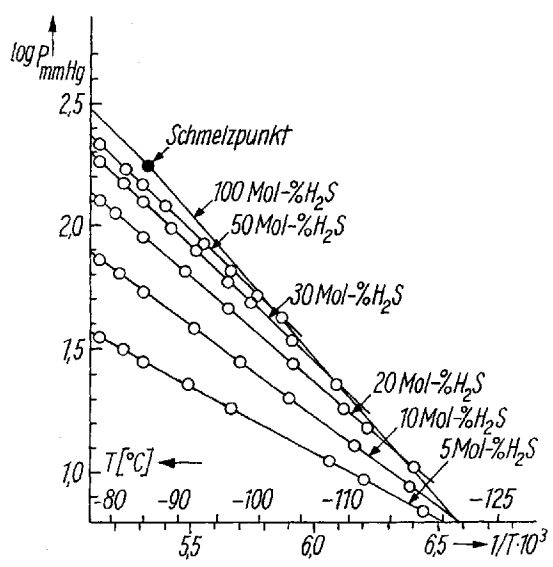


Abb. 2. H₂S-Dampfdrucke über flüssigen H₂S-CS₂-Mischungen (5 bis 50 Mol-% H₂S)

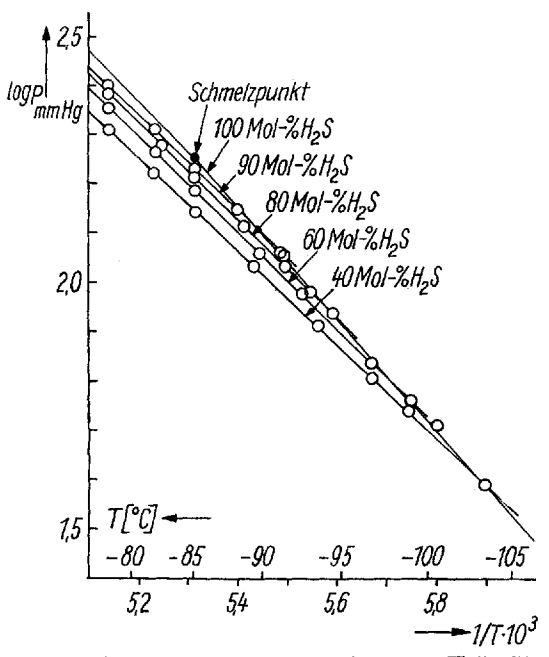


Abb. 3. $\rm H_2S$ -Dampfdrucke über flüssigen $\rm H_2S$ - $\rm CS_2$ -Mischungen (40 bis 100 Mol- $\rm \%~H_2S$)

60

70

80

90

100

fungswärmen L _e und Verdampfungsentropien AS _e						
Mol-% H ₂ S	Temperatur (°K)		$= - A \cdot 10^{3} \cdot + B$ $\mid B$	$ ho_{ m e}$ (kcal/Mol $ m H_2S$)	$\begin{array}{c c} AS_e \\ (cal/^\circ Mol \ H_2S) \end{array}$	
5	153-195	0,540	3,56	2,47	3,12	
10	153-195	0,729	5,605	3,33	12,45	
20	158-195	0,850	6,545	3,89	16,75	
30	163-195	0,942	7,11	4,30	19,35	
40	170-195	0,944	7,16	4,31	19,60	
50	171-195	0,974	7,34	4,45	20,35	

7,37

7,38

7.41

7,44

7.66

0,975

0.976

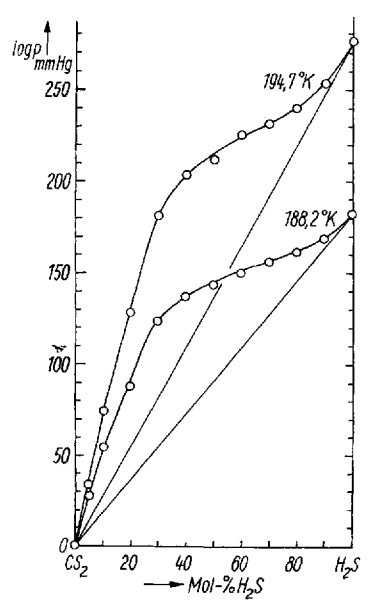
0.979

0,980

1,017

 $Tabelle\ 1\\ H_2S-Partialdrucke\ \ddot{u}ber\ fl\ddot{u}ssigen\ H_2S-CS_2-Mischungen,\ mittlere\ Verdampfungswärmen\ L_e\ und\ Verdampfungsentropien\ \varDelta S_e$

tiv starke positive Abweichungen vom Raoultschen Gesetz auf. Die gegenüber der Additivität stark vergrößerten H₂S-Aktivitäten lassen sich quali-



173 - 195

178 - 195

180 - 195

183 - 195

188 - 213

Abb. 4. p_{H_2S} -Isothermen im flüssigen System H_2S-CS_2

tativ deuten, indem man annimmt, daß durch die Verdünnung des H₂S durch CS₂ die merklichen Kräfte der H₂S-Moleküle untereinander nicht mehr voll zur Geltung kommen. Diese, wenn auch schwachen, (Brücken-)Bindungen können ihren aktivitätsverringernden Einfluß nicht mehr ausüben, denn die Wechselwirkungskräfte zwischen H₂S-Molekeln und unpolaren CS₂-Molekeln sind wesentlich geringer als die zwischen H₂S-H₂S¹⁴). Diese intermolekularen Vorgänge äußern sich in den makroskopischen thermodynamischen Größen. Mischungsenthalpie und -entropie sind beide positiv. Dem System muß zur Überwindung der Wechselwirkungskräfte Energie zugeführt werden, ebenso muß die Entropie als Maß für den Unordnungsgrad zunehmen.

4,45

4,46

4,47

4.48

4,65

20,55

20,60

20,75

20,90

21,90

¹⁴) Vgl. z. B. O. Kubaschewski, Z. Elektrochem. angew. physik. Chem. 48, 646 (1942).

Partielle und integrale thermodynamische Daten und Überschußenergien AGE im System (H2S-CS2)nüssig bei 191,5 °K 15)16)

a _{H2} S	a _{H2} S	⁸ H ₂ S	$\Delta \overline{H_{ m M}}$	AGM H.S.	$AG_{\rm M}$ $AS_{\rm M}$ $AH_{\rm M}$	AH _M keal/Wol Wi	AG _M keal/Mel Wi	AS _M	AGE Leal/Mol Mi
	(xx = 600x) /	(er 0(+0+)	Cart tout /mou	wood/arror ango	car, mor man	word/anor and	wood/ throughter.	cer, morature	Acet, the fall
263	0,296	0,280	+ 1,32	-0.485	+9,44	+0,13	-0.046	6,0 +	+ 0,078
,465	0,497	0,481	+0,743	-0,280	+5,34	+0.24	- 0,087	+ 1,7	+0,104
,663	0,685	0,674	+0,366	-0,151	+ 2,70	+0.28	-0,102	+ 2,0	+0,131
,735	0,755	0,745	+0,299	-0.112	+ 2,14	+0,29	-0,107	+ 2,1	$\div 0,149$
,782	0,799	0,791	+0,240	-0,089	+1,72	+0,30	-0,111		+0,153
,818	0,833	0,826	+0,198	-0,073	+1,41	+0.29	-0,108	+ 2,1	+ 0,148
0,843	0,855	0,849	+0,160	-0,063	+1,16	+0.27	-0,102	+1,9	+0,131
,874	0,884	0,879	+0,129	-0,049	+0.93		-0,088		+0,103
,920	0,928	0,924	+0,095	-0.030	+0.65		-0.065	+ 1.4	+0,059

15) $\mathbf{x_1} = \text{Molenbruch des H}_2 \mathbf{S}, \, \mathbf{x_2} = \text{Molenbruch des CS}_2$. 16) $\mathbf{a_{H,S}} = \text{Aktivität des H}_2 \mathbf{S}$. Dampfdruck des reinen $\mathbf{H}_2 \mathbf{S}$ bei 194,7 °K: 276,4 mm Hg und bei 188,2 °K: 183,0 mm Hg.

Die partiellen thermodynamischen Größen wurden berechnet nach:

Mischungsenthalpie:
$$\varDelta\overline{H_{M}}=-4,\!576\cdot T^{2}\frac{d\log a}{dT}$$

Freie Enthalpie der Mischung: $\Delta \overline{G_M} = 4,576 \cdot T \cdot \log a$

Mischungsentropie:
$$\Delta \overline{S}_{M} = \frac{\Delta \overline{G}_{M} - \Delta \overline{H}_{M}}{T}$$

Aus den partiellen Größen konnte nach Gibbs-Duhem-Margules und Lewis jeweils der integrale Wert errechnet werden:

z. B.
$$\Delta G_{M} = \mathbf{x}_{2} \int_{0}^{\mathbf{x}_{1}/\mathbf{x}_{2}} \Delta \overline{G_{M}} d\frac{\mathbf{x}_{1}}{\mathbf{x}_{2}}.$$

Entsprechende Beziehungen gelten für ΔH_M und ΔS_M . Zur Integration wurde die Fläche unter der $\Delta \overline{H_M}$, $\Delta \overline{H_M}$ bzw. $\Delta \overline{S_M}$ -Kurve ausgemessen und durch x_1/x_2+1 dividiert 15).

Die Ergebnisse der Berechnungen sind in der Tab. 2 zusammengefaßt, der Verlauf der integralen und partiellen Mischungsenthalpien bei 191,5 °K ist in Abb. 5 und 6 wiedergegeben.

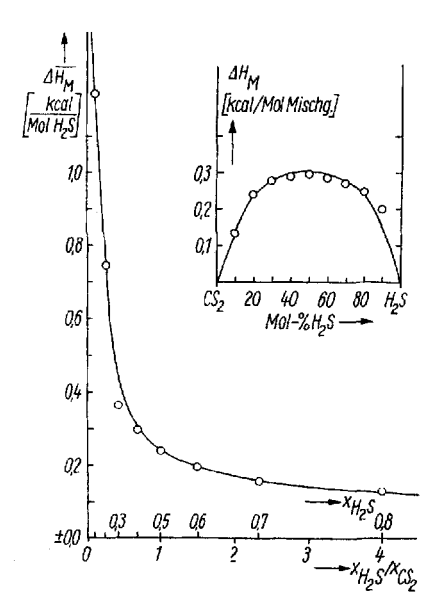


Abb. 5. Partielle und integrale Mischungsenthalpien im System $(H_2S-CS_2)_{(\Pi \ddot{u}sstg)}$ bei 191,5 °K

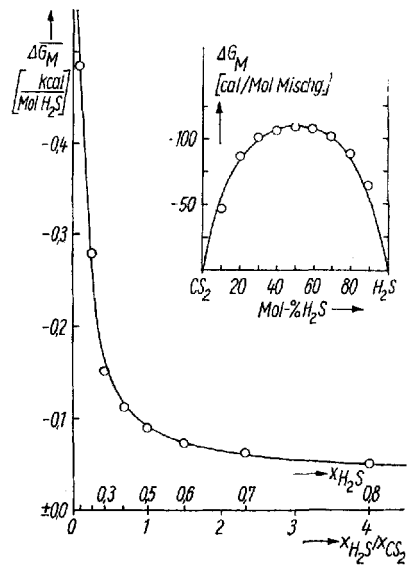


Abb. 6. Partielle und integrale freie Mischungsenthalpien im System (H₂S-CS₂)_(Itilissig) bei 191,5 °K

Die Erstarrungspunkte der Gemische konnten bei der vorliegenden Versuchsanordnung nicht exakt ermittelt werden. Dagegen stimmt der Gang der Schnittpunkte zwischen den gemessenen Dampfdruckgeraden und den

Geraden für festen Schwefelwasserstoff mit dem der im System H_2S-CS_2 von Biltz und Bräutigam⁴) bestimmten Schmelzpunkte praktisch überein.

3. Zur Frage der Gleichgewichte $H_2S + CS_2 \Rightarrow SC(SH)_2$ und $H_2S + CS_2 \Rightarrow H_2S \cdot CS_2$

Während im System H₂S-CS₂ die im festen Zustande stabile Verbindung H₂S · CS₂ auftritt, kann das Kohlenstoffsulfid-di-(hydrogensulfid) SC(SH)₂ durch Umsetzung von BaCS₃ mit halbkonzentrierter HCl bei 0 °C hergestellt werden ⁵). Beide Verbindungen sind isomer, unterscheiden sich aber grundsätzlich in ihren Eigenschaften, wie der Tab. 3 zu entnehmen ist. Eine Syn-

Tabelle 3 $\begin{tabular}{lll} Vergleich & von Eigenschaften der festen isomeren Verbindungen $C(SH)_2$ und $H_2S\cdot CS_2^{17}$) \end{tabular}$

Eigenschaften	$SC(SH)_2$ 3)	$ m H_2S \cdot CS_2$
Farbe	gelb (fest)	weiß
Beständigkeit	fest und flüssig	nur im festen Zustande
Schmelzpunkt	-26,9 °C	−102 °C
Bildungsenthalpie	$\Delta H_1^{153} = +4.0 \pm 0.6$	$\Delta H_{\rm f}^{158} = +10.2 \pm 0.8$
(kcal/Mol)	$\Delta H_1^{28} = +6.0 \pm 0.6$	
Normalentropie	$S^{153} = 45.1 + 1.4$	$S^{153} = 55.2 + 2.0$
$(cal/^{\circ}Mol)$	$S^{298} = 53.3 + 1.2$	
"Schmelzwärme"	$L_t = 2.01 + 0.05$	$\Delta H_z = +0.8 + 1.4$
(kcal/Mol)		

these von $H_2S \cdot CS_2$ aus $SC(SH)_2$ ist über die Gasphase mit anschließender Kondensation möglich; der umgekehrte Vorgang ist bis jetzt noch nicht zu realisieren.

Im Zusammenhang mit den Dampfdruckmessungen an $SC(SH)_2$ 3) ist darauf hingewiesen worden, daß die Rückreaktion des Gleichgewichtes

$$SC(SH)_{2(fl\ddot{u}sslg)} \rightleftharpoons H_2S_{(Gas)} + CS_{2(fl\ddot{u}sslg)}$$

extrem stark gehemmt ist. Ob diese Aussage sinnvoll ist, kann die freie Bildungsenthalpie der Verbindung SC(SH)₂ zeigen.

Die freien Bildungsenthalpien von $SC(SH)_2$ und $H_2S \cdot CS_2$ sowohl aus den Elementen als auch aus $H_2S + CS_2$ wurden mit Hilfe der in der Literatur bekannten thermochemischen Daten³)²) zwischen $-150\,^{\circ}$ C und $+400\,^{\circ}$ C für verschiedene Drucke berechnet. In Abb. 7 ist der wichtigste Teil der $\triangle G$ -Werte wiedergegeben.

¹⁷) L_{t} -Schmelzwärme, $\Delta H_{z} = Zersetzungswärme$.

Die thermodynamischen Berechnungen ergeben, daß die Bildung von $SC(SH)_2$ aus den Elementen im gesamten Temperaturbereich zwischen $-150\,^{\circ}$ C bis $+400\,^{\circ}$ C theoretisch möglich ist; höhere Temperaturen begünstigen dabei die Reaktion 18). Bei der Synthese aus H_2S und CS_2 in dem jeweiligen Aggregatzustand bei Normaldruck muß jedoch unterhalb $+50\,^{\circ}$ C

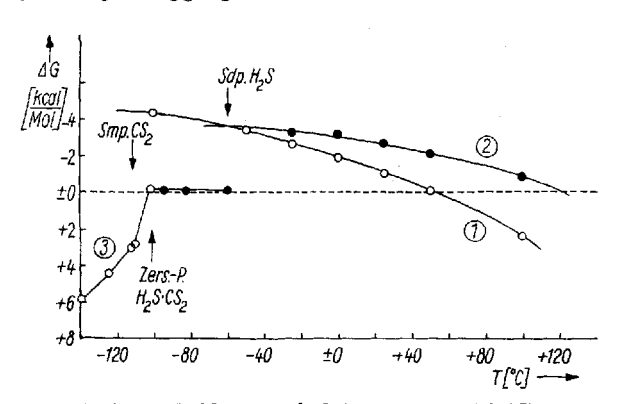


Abb. 7. Freie Bildungsenthalpien von 1. $SC(SH)_2$ aus H_2S und CS_2 bei 1 atm Druck, 2. $SC(SH)_2$ aus H_2S und CS_2 beim Gleichgewichtsdruck des H_2S , 3. $H_2S \cdot CS_2$ aus H_2S und CS_2

gearbeitet werden; oberhalb dieser Temperatur ist eine Darstellung bei 1 atm thermodynamisch unwahrscheinlich. Besonders begünstigt sind tiefe Temperaturen. Unter diesen Bedingungen ist jedie Reaktionsge- doch schwindigkeit extrem gering. Wie aus der Abb. 7 zu entnehmen ist, müßte eine Druckerhöhung bei höheren Temperaturen zu SC(SH), führen. Verzeigten suche jedoch

(siehe weiter unten), daß auch hier die Reaktionsgeschwindigkeit noch zu klein ist.

Die Verbindung $H_2S \cdot CS_2$ ist nur in einem kleinen Bereich unterhalb ihrer Schmelztemperatur (= Zersetzungstemperatur) von $-102\,^{\circ}$ C thermodynamisch stabil; darunter ist sie metastabil, darüber tritt ein Zerfall in die flüssige Mischung $H_2S + CS_2$ ein.

Zum Zwecke einer Synthese von $SC(SH)_2$ aus H_2S+CS_2 wurden zur Erhöhung der Reaktionsgeschwindigkeit Versuche mit Katalysatoren durchgeführt. H_2S und CS_2 wurden im Bombenrohr jeweils 24-28 Stunden auf $+45\,^{\circ}\mathrm{C}$ gehalten.

Es wurden Bombenrohre aus Pyrexglas von 3 mm Wandstärke, 1,0 cm innerem Durchmesser von 30 cm Länge verwendet. Die eingesetzte Substanz betrug jeweils etwa 8 cm³. Zur Füllung wurde eine bestimmte Menge CS₂ in das Bombenrohr eingewogen, im Vakuum H₂S mit geringem Überschuß — wie bereits beschrieben — aus einer graduierten Falle eindestilliert und nach dem Zuschmelzen (Mischung mit flüssiger Luft abgekühlt) das Bombenrohr in einem Schutzrohr aus Stahl im Bombenofen auf die Versuchstemperatur gebracht. Nach Beendigung des Versuches wurde das Bombenrohr im Schutzrohr vorsichtig auf die Temperatur der flüssigen Luft abgekühlt und anschließend geöffnet. Versuche ohne Katalysatoren ergaben keinen sichtbaren Umsatz. Anschließend wurden nacheinander

¹⁸⁾ Z. B.: $\Delta G = -30.0 \text{ kcal/Mol bei } 400 ^{\circ}\text{C gegen } -1.6 \text{ kcal/Mol bei } -150 ^{\circ}\text{C}$.

kleine Mengen von NaOH, Eisenpulver, Eisen(III)-oxid auf Al₂O₃, Wismutsilikat ¹⁹), Natriumsulfid, Molybdändisulfid, Quecksilber, Nickel, Aktivkohle und Pyridin zugesetzt ²⁰).

Während sich bei den alkalischen Zusätzen zwar Trithiocarbonate bildeten, zeigte sich jedoch in keinem Falle ein Umsatz zu SC(SH)₂. — Die Versuche werden fortgesetzt.

Herrn Professor Dr. O. Glemser gilt unser Dank für die Bereitstellung von Institutsmitteln. Der Deutschen Forschungsgemeinschaft und dem Fonds der Chemischen Industrie danken wir sehr für die wertvolle Unterstützung unserer Arbeit.

Göttingen, Anorganisch-chemisches Institut der Universität.

Bei der Redaktion eingegangen am 25. Januar 1963.

¹⁹) Vgl. G. Gattow u. H. Schröder, Z. anorg. allg. Chem. 318, 176 (1962); G. Gattow u. H. Fricke, Z. anorg. allg. Chem. 324, 287 (1963).

 $^{^{20}}$) Die Katalysatoren wurden dabei sowohl im absolut trockenen Zustande als auch leicht mit ${\rm H}_2{\rm O}$ angefeuchtet eingesetzt.